

	1	2	3	4	$\Sigma$
xmarci10					

### Úloha č. 3

(Termín odovzdania 17.05.2020)

Uvažujme nasledujúci epidemický model COV20: Model popisuje vývoj epidémie vírusu v uzatvorenej populácii, ktorá obsahuje

- zdravé jedince ( $Z$ ), ktoré sa môžu nakaziť.
- nakazené jedince ( $N$ ), ktoré sa môžu uzdraviť.
- uzdravené jedince ( $U$ ), ktoré sa už nemôžu nakaziť.

Iniciálna populácia:  $Z_{init} = 95$ ;  $N_{init}=5$ ;  $U_{init} = 0$ . Vývoj epidémie vírusu ovplyvňujú nasledujúce dve reakcie:

1. *nákaza*: zdravý jedinec pri kontakte s nakazeným jedincem sa stáva nakazený – rýchlosť (rate) nákazy závisí na parametri  $k_i \in \langle 0.001, 0.011 \rangle$ .
2. *uzdravenie*: nakazený jedinec sa uzdraví – rýchlosť (rate) uzdravenia závisí na parametri  $k_r \in \langle 0.01, 0.11 \rangle$ .

Tento model odpovedá nasledujúcej reakčnej sieti:



Model vychádza z *mass-action kinetics* pre populačné modely – to znamená, že rýchlosť (rate) reakcií v celej populácii závisí na počte jednotlivcov, u ktorých môže reakcia prebehnúť, a na príslušnom parametri.

**Príklad 1.** Namodelujte reakčnú sieť uvedenú vyššie v nástroji PRISM. Sémantika modelu bude odpovedať Markovskému reťazcu v spojitom čase (CTMC).

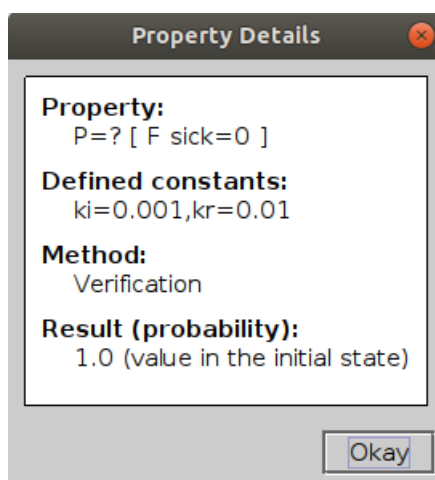
**Riešenie** Vytvorený model pozostáva z jedného modulu, konkrétne cov20. Ten obsahuje tri premenné definujúce stavový priestor vytvoreného modelu. Premenná *healthy* obsahuje počet zdravých jedincov v populácii. Ďalej premenná *sick* popisuje počet nakazených jedincov a posledná premenná *healed* udáva počet vyliečených jedincov. Modul cov20 ešte okrem lokálnych premenných obsahuje dva príkazy (*guarded-commands*) popisujúce samotnú reakčnú sieť (*nákaza*, *uzdravenie*).

Rýchlosť (rate) nákazy/uzdravenia je definovaná pomocou formúl na globálnej úrovni s ohľadom na *mass action kinetics*. Ešte pred spomínanými formulami sú definované parametre  $k_i$  a  $k_r$ , ktoré sú použité na výpočet rýchlosti nákazy/uzdravenia. Tieto konštanty nemajú priradenú konkrétnu hodnotu a teda konkrétna hodnota musí byť zadaná pri zostavení (*build*) modelu. Poslednou premennou je konštanta *population* udávajúca veľkosť celkovej populácie. Pre viac detailov viz súbor *uloha3.prism*, ktorý možno nájsť v odovzdanom archíve.

**Príklad 2.** Formulujte a analyzujte vlastnosti typu: (1) *Aká je pravdepodobnosť, že infekcia eventuálne vymizne?* a (2) *Aká je pravdepodobnosť, že infekcia trvá aspoň 100 časových jednotiek a vymizne behom 120 časových jednotiek?*

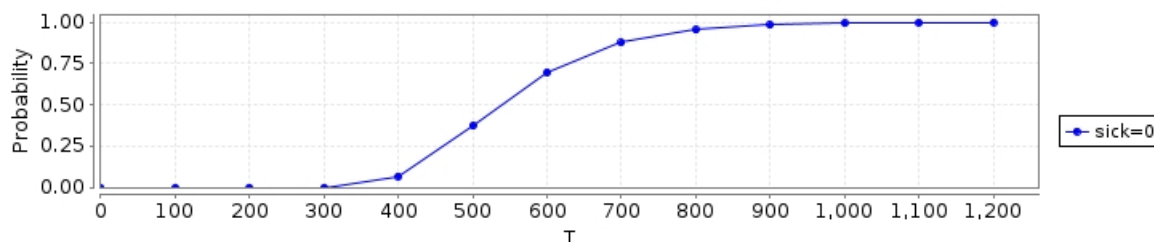
**Riešenie** Sformulované vlastnosti v jazyku PRISM je možné nájsť v súbore uloha3.props. Na analýzu zadaných vlastností boli použité zafixované hodnoty parametrov  $k_i$  a  $k_r$ , zadané pri zostavení (build) modelu.

Na overenie prvej vlastnosti bola skonštruovaná vlastnosť v tvare:  $P=? [F \text{ sick}=0]$ . Analýzou tejto vlastnosti sme došli k záveru, že infekcia vždy (po uplynutí dostatočne dlhého času) vymizne (viz Obr. 1).



**Obr. 1:** Overenie prvej vlastnosti: *Aká je pravdepodobnosť, že infekcia eventuálne vymizne?*. Na demonštráciu boli použité najnižšie možné hodnoty parametrov  $k_i$  a  $k_r$ . Z výsledku je vidieť, že pri týchto hodnotách je na 100 % isté, že infekcia niekedy v budúcnosti vymizne.

Niekoho by, ale mohlo zaujímať do koľkých časových jednotiek infekcia vymizne. Pre zaujímavosť bola overená aj táto vlastnosť:  $P=? [F [0, T] \text{ sick}=0]$  a z výsledného grafu na obrázku 2 môžeme vidieť, že infekcia určite vymizne do  $\approx 1200$  časových jednotiek.



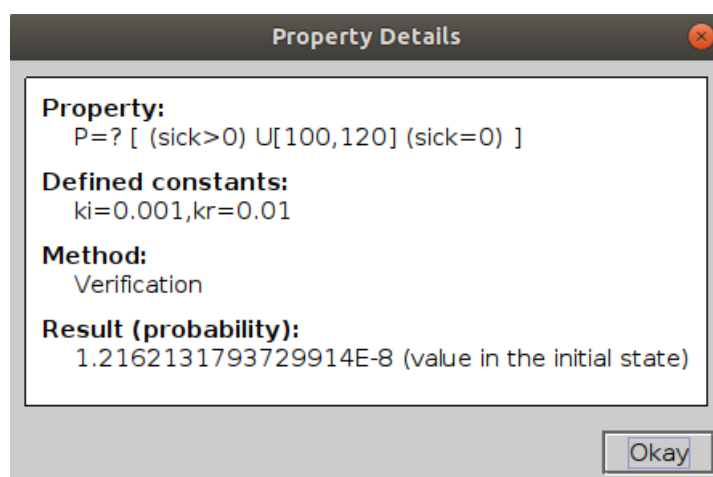
**Obr. 2:** Pravdepodobnosť, že infekcia vymizne do  $T$  časových jednotiek. Pri experimente boli ako hodnoty parametrov  $k_i$  a  $k_r$  opäť použité minimálne hodnoty z prípustných intervalov ( $k_i=0.001$ ,  $k_r=0.01$ ).

Na overenie druhej vlastnosti bola skonštruovaná vlastnosť (property) v tvare:

$$P=? [ (sick>0) \text{ U}[100,120] (sick=0) ]$$

V nej bol použitý operátor *bounded until*, hovoriaci o tom, že k vyličeniu dôjde v časovom okamihu  $t \in \langle 100, 120 \rangle$ . A pre všetky časové okamihy  $t' < t$  platí, že počet nakazených je väčší ako 0 (čo znamená, že infekcia bude trvať aspoň 100 časových jednotiek).

Analýzou tejto vlastnosti sme došli k záveru, že je takmer nemožné dosiahnuť požadovanú vlastnosť pri nami zvolených hodnotách  $k_i=0.001$ ,  $k_r=0.01$  (viz Obr. 3). Výsledok dopadol podľa očakávania, keďže aj z obrázku 2 je vidieť, že pravdepodobnosť úplného vymiznutia nákazy do 120 časových jednotiek je skoro nulová.



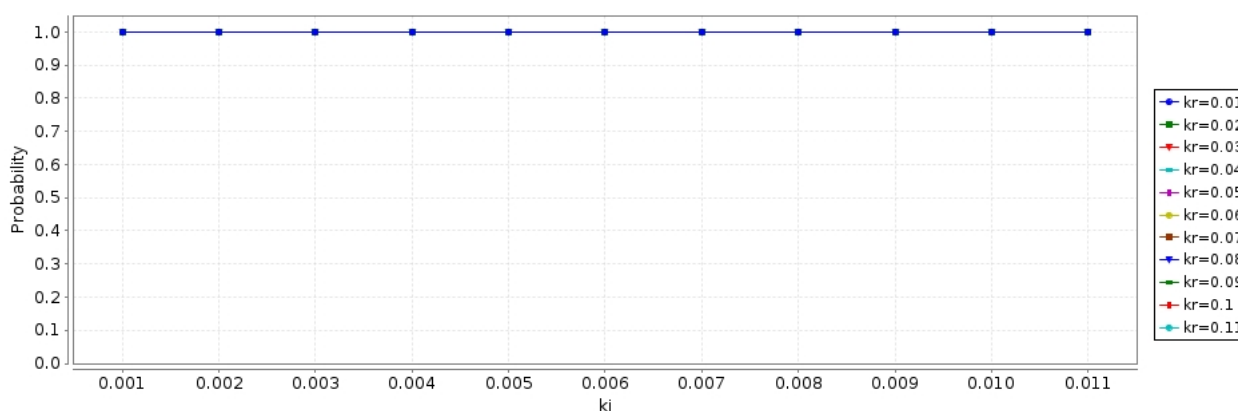
**Obr. 3:** Overenie druhej vlastnosti: *Aká je pravdepodobnosť, že infekcia trvá aspoň 100 časových jednotiek a vymizne behom 120 časových jednotiek?*. Na demonštráciu boli opäť použité najnižšie možné hodnoty parametrov  $k_i$  a  $k_r$ .

**Príklad 3.** Preskúmajte, ako sú vlastnosti z príkladu 2 ovplyvnené parametrami  $k_i, k_r$ .

**Riešenie** Na overenie vplyvu parametrov  $k_i$  a  $k_r$  na vlastnosti z príkladu 2 sme spustili PRISM experimenty nad už definovanými vlastnosťami (properties), no tentokrát sme nepoužili fixné hodnoty týchto parametrov, ale namiesto toho sme definovali interval a krok pre oba z nich nasledovne:

$$k_i \in \langle 0.001; 0.011 \rangle, \text{step} = 0.001 \quad k_r \in \langle 0.01; 0.11 \rangle, \text{step} = 0.01$$

Z obrázku 4 je možné vidieť, že ani rýchlosť šírenia nákazy ani rýchlosť uzdravenia nijako neovplyvňujú prvú vlastnosť ( $P=?$  [F sick=0]). To znamená, že bez ohľadu na parametre  $k_i$  a  $k_r$ , infekcia vždy po uplynutí určitého času vymizne so 100 % pravdepodobnosťou.



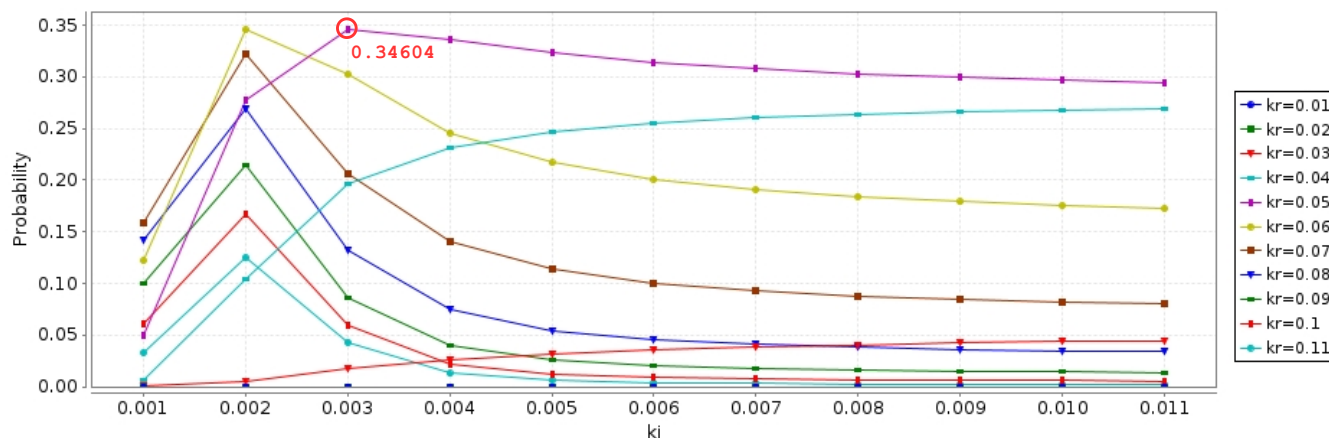
**Obr. 4:** Výsledný graf PRISM experimentov nad vlastnosťou  $P=?$  [F sick=0], pre rôzne hodnoty parametrov  $k_i$  a  $k_r$ . **UPOZORNENIE:** Vo výslednom grafe sú viditeľné iba výsledky pre  $k_r = 0.01$ , keďže prekrývajú všetky ostatné (pri všetkých je pravdepodobnosť stále rovná 1).

Narozdiel od prvej skúmanej vlastnosti, kde parametre  $k_i$  a  $k_r$  nijak neovplyvňovali výslednú pravdepodobnosť, pri druhej vlastnosti už tomu tak nie je. To možno vidieť na obrázku 5. Z obrázku vidíme, že rýchlosť nákazy/uzdravenia do značnej miery ovplyvňuje pravdepodobnosť skúmanej vlastnosti.

Z výsledného grafu možno vyvodiť niekoľko záverov:

1. Môžeme vidieť, že v prípade keď je  $k_r \leq 0.03$ , je výsledná pravdepodobnosť veľmi nízka ( $p < 0.05$ ) bez ohľadu na hodnotu  $k_i$ . Dôvodom je, že rýchlosť uzdravenia je dosť malá a tým pádom je vysoká pravdepodobnosť, že infekcia bude trvať **dlhšie** ako 120 časových jednotiek.
2. Ďalej si môžeme všimnúť, podobný trend v prípadoch kedy je  $k_r \geq 0.06$ . V tomto trende si môžeme všimnúť vrchol pravdepodobnosti v prípade, že  $k_i = 0.002$ . Potom so zvyšujúcimi sa hodnotami  $k_i > 0.002$  pravdepodobnosť znižuje. Tento pokles je spôsobený tým, že s narastajúcou rýchlosťou infekcie (a dostatočnou rýchlosťou uzdravovania) je čím ďalej tým viac pravdepodobnejšie, že nákaza vymizne za **menej** ako 100 časových jednotiek. Naopak na druhú stranu od vrchola ( $k_i < 0.002$ ), je pokles spôsobený tým, že sa zvyšuje pravdepodobnosť, že nákaza bude trvať **dlhšie** ako 120 časových jednotiek.

3. Poslednými dvoma hodnotami  $k_r$  zdieľajúcimi podobný trend sú  $k_r = 0.04$  a  $k_r = 0.05$ . Pri týchto hodnotách môžeme vidieť nárast pravdepodobnosti s narastajúcou hodnotou  $k_i$  až do  $k_i \leq 0.003$ . Od  $k_i > 0.004$  sa už pravdepodobnosť výrazne nemení a vidíme, že práve pri týchto hodnotách je pravdepodobnosť, že bude splnená vlastnosť 2 relatívne najvyššia.



**Obr. 5:**  $P=? [(sick>0) \cup [100, 120] (sick=0)]$ : Výsledný graf PRISM experimentov pre rôzne hodnoty parametrov  $k_i$  a  $k_r$ . Červený krúžok vyznačuje kombináciu parametrov, pri ktorej je naviac pravdepodobné splnenie požadovanej vlastnosti.

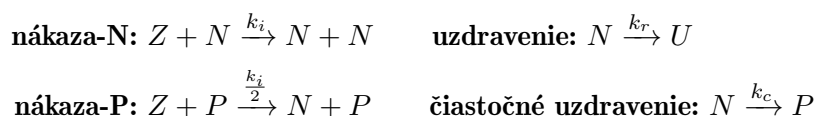
**Príklad 4.** Skonstruujte reakčnú sieť pre nasledujúcu variantu epidémie:

Časť nakazených jedincov sa neuzdraví úplne a môžu aj po vyliečení nakaziť zdravých (nevyliečených) jedincov ( $Z$ ). Rýchlosť nákazy od týchto čiastočne vyliečených jedincov je dvakrát pomalšia (má polovičnú rate) ako v prípade nákazy od nakazených jedincov ( $N$ ).

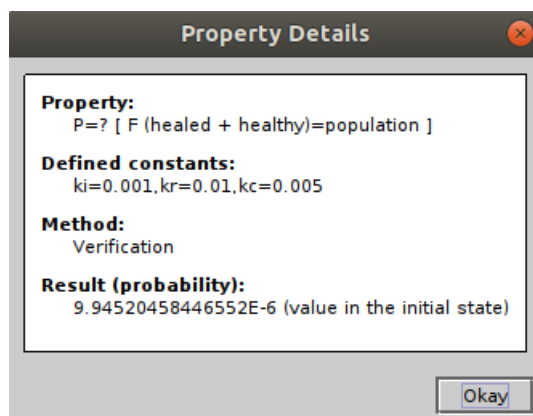
**Riešenie** Oproti pôvodnému epidemickému modelu COV20, sme do populácie pridali takzvaných prenášačov ( $P$ ), ktorý sú podľa zadania iba čiastočne vyliečení a teda môžu stále prenášať ochorenie na zdravých jedincov. Vývoj epidémie potom ovplyvňujú nasledujúce reakcie:

1. *nákaza-N*: zdravý jedinec sa pri kontakte s nakazeným jedincom stáva nakazeným – rýchlosť (rate) nákazy závisí na parametri  $k_i \in \langle 0.001, 0.011 \rangle$ .
2. *nákaza-P*: zdravý jedinec sa pri kontakte s prenášačom stáva nakazeným – rýchlosť (rate) nákazy je dvakrát pomalšia ako v prípade *nákazy-N*.
3. *uzdravenie*: nakazený jedinec sa uzdraví – rýchlosť (rate) uzdravenia závisí na parametri  $k_r \in \langle 0.01, 0.11 \rangle$ .
4. *čiastočné uzdravenie*: nakazený jedinec sa stáva prenášačom – rýchlosť (rate) uzdravenia závisí na parametri  $k_c \in \langle 0.005, 0.055 \rangle$ .

Tento model potom odpovedá nasledujúcej reakčnej sieti:



Ako je už na prvý pohľad zrejmé, oproti pôvodnému modelu COV20, tentokrát nie vždy dôjde k vymiznutiu infekcie. Dôvodom je to, že v populácii sa budú vyskytovať prenášači ( $P$ ), ktorí sa nikdy úplne neuzdravia. Za účelom demonštrácie bol pôvodný model modifikovaný podľa vyššie uvedenej reakčnej siete a na obrázku 6 môžeme vidieť, že úplné vymiznutie infekcie je teraz veľmi málo pravdepodobné.



**Obr. 6:** Overenie pravdepodobnosti, že v modifikovanom modele úplne vymizne infekcia.

V prípade, že by sme chceli **vždy** dosiahnuť úplné vymiznutie infekcie, bolo by potrebné pridať reakciu popisujúcu úplné uzdravenie čiastočne uzdravených jedincov:

